

D \rightarrow Kl $\bar{\nu}_l$ ($l=e,\mu$) 衰变过程研究

王光怀¹, 吴向尧¹, 张春丽¹, 刘 兵¹, 刘晓静¹, 吴义恒¹, 杨传顶²

(1. 吉林师范大学 物理学院, 吉林 四平 136000; 2. 吉林大学 物理学院, 吉林 长春 130021)

摘要: 用光锥 QCD 求和规则研究 D \rightarrow Kl $\bar{\nu}_l$ ($l=e,\mu$) 衰变过程, 通过构造适当的关联函数, 既计算了 D \rightarrow K 跃迁形状因子 $f_{DK}^+(q^2)$, 又计算了形状因子中新的项 $\tilde{f}_{DK}(q^2)$, 发现了轻子 (e, μ) 质量对分支比的影响。这样能分别计算 D \rightarrow Ke $\bar{\nu}_e$ 和 D \rightarrow K $\mu\bar{\nu}_\mu$ 衰变过程的分支比, 并使计算结果更为精确。计算出的分支比与实验数据在误差范围内一致。

关键词: D 介子半轻衰变; 分支比; 形状因子

中图分类号: O56 文献标志码: A 文章编号: 1000-6931(2010)02-0153-06

Research on D \rightarrow Kl $\bar{\nu}_l$ ($l=e,\mu$) Decay

WANG Guang-huai¹, WU Xiang-yao¹, ZHANG Chun-li¹, LIU Bing¹, LIU Xiao-jing¹,
WU Yi-heng¹, YANG Chuan-ding²

(1. Institute of Physics, Jilin Normal University, Siping 136000, China;

2. Institute of Physics, Jilin University, Changchun 130021, China)

Abstract: The D \rightarrow Kl $\bar{\nu}_l$ ($l=e,\mu$) decay was researched by light cone QCD sum rules. The form factor $f_{DK}^+(q^2)$ of D \rightarrow K was calculated by choosing a new correlative function, and a new form factor $\tilde{f}_{DK}(q^2)$ was also calculated, so the effect of the lepton mass on the branching ratios can be found. The branch ratios of the D \rightarrow Ke $\bar{\nu}_e$, D \rightarrow K $\mu\bar{\nu}_\mu$ decay were calculated and the calculation result is more precisely. The branch ratios are consistent with the experimental data.

Key words: D semileptonic decay; branch ratio; form factor

研究 D 介子衰变过程可了解强相互作用的有关信息, 对研究 CP 破坏机制以及检验标准模型有重要的物理意义。在过去 30 多年中, 对 D 介子衰变进行了大量研究, 并取得一定的进展。目前, 从 QCD 第一原理精确计算强子矩阵元尚不可能, 因此, 只能寻找各种唯象的方法来研究。研究 D 介子半轻衰变对计算 CKM

矩阵元以及夸克的混合均极为重要, 因为半轻衰变中, 强相互作用的影响比在非轻子衰变中弱, 非微扰部分的贡献在半轻衰变中比非轻子衰变或强子衰变小。另外, 在 D 介子的强子衰变中, 还需考虑末态相互作用效应。目前, 这种效应在粒子理论中尚无可靠的方法进行计算。因此, 研究 D 介子半轻衰变能更精确地计算

CKM 矩阵元,且其强相互作用被参数化为跃迁形状因子,已有一些很好的方法计算形状因子,如 QCD 求和规则^[1]、格点规范理论^[2]、光锥 QCD 求和规则^[3-4]、重夸克模型理论^[5]等。本文进一步研究 D→K 半轻衰变过程中在整个运动学范围内的跃迁形状因子。研究 D→K 半轻衰变过程,可抽出 $|V_{cd}|$,用改进光锥 QCD 求和规则即能消除 twist-3 波函数不确定性所带来的影响。因此,用这种方法研究 D→K 过程,能更精确地抽出 $|V_{cs}|$ 。另一方面,计算半轻衰变宽度必须知道在整个运动学范围内的形状因子,在光锥 QCD 求和规则(LCSR)方法中,动量转移只适用在低、中等能量范围,而超过此能量范围的形状因子,可采用极点方法进行外推而得到。通过构造合适的关联函数,既可计算 D→K 跃迁形状因子 $f_{DK}^+(q^2)$,又可计算形状因子中新的项 $\tilde{f}_{DK}(q^2)$ 。通过这一项,即能考虑轻子 l(l=e,μ)质量对计算结果的影响,从而使计算结果更加精确,同时又能分别计算 D→Keν_e、D→Kμν_μ衰变过程的分支比。

1 D→K 半轻衰变

对 D→Klν_l(l=e,μ)过程,其强子矩阵元可通过两个独立的形状因子表示为:

$$\langle K | \bar{d}(s)γ_μ c | D \rangle = 2f_{DK}^+(q^2)p_μ + (f_{DK}^+(q^2) + f_{DK}^-(q^2))q_μ \quad (1)$$

其中, $f_{DK}^+(q^2) + f_{DK}^-(q^2) = \tilde{f}_{DK}(q^2)$, 则其衰变宽度与动量转移平方的关系为:

$$\frac{dΓ}{dq^2} = \frac{G^2 |V_{cs}|^2 (q^2 - m_K^2)^2 \sqrt{E_K^2 - m_K^2}}{q^4 24\pi^3 m_D^2} \cdot \left(\left(1 + \frac{m_l^2}{2q^2} \right) m_D^2 (E_K^2 - m_K^2) [f_{DK}^+(q^2)]^2 + \frac{3m_l^2}{8q^2} (m_D^2 - m_K^2)^2 [f^0(q^2)]^2 \right) \quad (2)$$

其中, $E_K = (m_D^2 + m_K^2 - q^2)/2m_D$ 是 K 介子在 D 介子静止系中的能量,有:

$$f^0(q^2) = \left(1 - \frac{q^2}{m_D^2 - m_K^2} \right) f_{DK}^+(q^2) + \frac{q^2}{m_D^2 - m_K^2} \tilde{f}_{DK}(q^2) \quad (3)$$

可见,欲计算 D→Klν_l 过程衰变宽度 $Γ$,并结合实验数据抽取 $|V_{cs}|$,必须精确计算在整个运动学范围内的形状因子,即计算 $f_{DK}^+(q^2)$ ($0 \text{ GeV} \leqslant q^2 \leqslant (m_D - m_K)^2 = 1.89 \text{ GeV}$)。

在 LCSR 方法中,计算出的形状因子的动量转移范围为 $q^2 \leqslant m_c^2 - 2m_c\chi \approx 0.6 \text{ GeV}^2$, 其中, $\chi = 500 \text{ MeV}$ 。在 $q^2 > 0.6 \text{ GeV}^2$ 时,计算发现, twist-4 波函数贡献迅速增加,使得 $f_{DK}^+(q^2)$ 与 Borel 参数 M^2 间的稳定性丢失,从而破坏了光锥展开,LCSR 方法失效。那么,在 LCSR 动量转移范围外($m_c^2 - 2m_c\chi \leqslant q^2 \leqslant (m_D - m_K)^2$),采用极点近似方法,并通过外推,使极贡献来自于基态矢量介子 D*,用它来反映大 q^2 处的贡献。

为确定在大动量转移($m_c^2 - 2m_c\chi \leqslant q^2 \leqslant (m_D - m_K)^2$)范围内的形状因子 $f_{DK}^+(q^2)$,不能用 LCSR 方法,考虑下列色散关系:

$$f_{DK}^+(q^2) = \frac{f_{D^*} g_{D^* DK}}{2m_{D^*} \left(1 - \frac{q^2}{m_{D^*}^2} \right)} + \int_{σ_0}^∞ \frac{ρ(σ)dσ}{1 - \frac{q^2}{σ}} = F_G(q^2) + F_H(q^2) \quad (4)$$

其中: $ρ(σ)$ 为谱密度; $σ_0$ 为阈参数; f_{D^*} 为 D* 介子衰变常量,有:

$$\langle 0 | \bar{d}γ_μ c | D^* \rangle = m_{D^*} f_{D^*} ε_μ \quad (5)$$

其中: $ε_μ$ 为 D* 介子的极化矢量。

$g_{D^* DK}$ 为 D* DK 强耦合常数,有:

$$\langle D^*(q, e) K(p) | D(p+q) \rangle = -g_{D^* DK}(pε) \quad (6)$$

$F_G(q^2)$ 表示来自 D* 介子基态的贡献,即式(4)中的第 1 项。 $F_H(q^2)$ 描述在 D* 道更高态的贡献。

在 $0 \leqslant q^2 \leqslant m_c^2 - 2m_c\chi$ 区域内, $f_{DK}^+(q^2)$ 由光锥求和得到,即:

$$f_{DK}^+(q^2) = f_{DK}^{+(LCSR)}(q^2) \quad (7)$$

同时,非微扰参数 $f_{D^*} g_{D^* DK}$ 也在同样框架(LCSR 框架)中得到。

在式(7)中,若采用单极点近似,即:

$$f_{DK}^+(q^2) = \frac{f_{D^*} g_{D^* DK}}{2m_{D^*} \left(1 - \frac{q^2}{m_{D^*}^2} \right)} \quad (8)$$

计算发现,在 q^2 较大时,其大小与 $f_{DK}^{+(LCSR)}(q^2)$ 接近,表明式(3)更高态的贡献不能忽略。因此,还需考虑第二极点 $F_H(q^2)$ 的贡献。这样,即得到 D→K 的形状因子在整个运动学范围内的形式为:

$$f_{DK}^+(q^2) = \frac{f_{DK}^+(0)}{(1 - q^2/m_{D^*}^2)(1 - α_{DK}q^2/m_{D^*}^2)}$$

$$\alpha_{DK} = 1 - \frac{2m_{D^*} f_{DK}^+(0)}{f_{D^*} g_{D^* DK}} \\ 0 \leq q^2 \leq (m_D - m_K)^2 \quad (9)$$

从式(8)可知,欲确定 $f_{DK}^+(q^2)$,须知耦合常数 $g_{D^* DK}$ 和参数 m_{D^*} 。其中, m_{D^*} 可由 $f_{DK}^+(q^2)$ 在中低等能量范围内与 $f_{DK}^{+(LCNR)}(q^2)$ 一致而得出。可见,首先须用光锥 QCD 求和规则方法计算出 $f_{DK}^{+(LCNR)}(q^2)$ 。同时,耦合常数 $g_{D^* DK}$ 与 $f_{DK}^{+(LCNR)}(q^2)$ 一样,由相同的关联函数来计算。

2 构造关联函数

分别构造下列的手征流关联函数^[6-7]:

$$\Pi_\mu(p, q) = i \int d^4x e^{iqx} \langle K(p) | T\{\bar{s}(x) \cdot \\ \gamma_\mu (1 - \gamma_5) c(x), \bar{c}(0)i(1 + \gamma_5) u(0)\} | 0 \rangle = \\ F(q^2, (p+q)^2) p_\mu + \tilde{F}(q^2, (p+q)^2) q_\mu \quad (10)$$

在式(10)中分别插入两组完备中间态 $|D^H\rangle$ 和 $|D^*\rangle$,并结合式(8)、(9)得到不变振幅 $F(q^2, (p+q)^2)$ 的强子为:

$$F^H(q^2, (p+q)^2) = \\ \frac{m_{D^*}^2 m_{D^*} f_D f_{D^*} g_{D^* DK}}{m_c (q^2 - m_{D^*}^2)((p+q)^2 - m_D^2)} + \\ \iint \frac{\rho^h}{(s_1 - q^2)(s_2 - (p+q)^2)} ds_1 ds_2 + \text{减除项} \quad (11)$$

式(11)中第1项含有 $g_{D^* DK}$,它来自基态贡献,第2项是激发态和连续态的贡献,用双重色散积分表示,其中, $\rho^h(s_1, s_2)$ 是谱密度,由夸克-强子二象性假设得:

$$\rho^h(s_1, s_2) = \rho^{\text{QCD}}(s_1, s_2) \theta(s_1 - s_0^1) \theta(s_2 - s_0^2) \quad (12)$$

在 QCD 理论中计算不变振幅 $F^{\text{QCD}}(q^2, (p+q)^2)$,并与强子表示比较后即可得到 $g_{D^* DK}$ 。在大的类空动量区域: $q^2 \ll 0$ 和 $(p+q)^2 \ll 0$,对应 x^2 在光锥附近 $x^2 \approx 0$ 。这样,可对关联函数式(10)在光锥附近展开。通过收缩得到 c 夸克传播子,考虑到高扭度贡献时应包含背景场的作用,则有:

$$\langle 0 | T\{c(x)\bar{c}(0)\} | 0 \rangle = \\ i \int \frac{d^4 k}{(2\pi)^4} e^{-ikx} \frac{k + m_c}{k^2 - m_c^2} - i g_s \int \frac{d^4 k}{(2\pi)^4} e^{-ikx} \int_0^1 dv \cdot$$

$$\left[\frac{1}{2} \cdot \frac{k + m_c}{(m_c^2 - k^2)^2} G^{\mu\nu}(ux) \sigma_{\mu\nu} + \right. \\ \left. \frac{1}{m_c^2 - k^2} ux_\mu G^{\mu\nu}(ux) x_\nu \right] = S^{(0)} + S^{(1)} \quad (13)$$

收缩 c 夸克后,对局域算符矩阵元在 $x^2 = 0$ 附近展开,由 K 介子光锥波函数表示^[8]经复杂计算,得到不变振幅的 QCD 形式为:

$$F^{\text{QCD}}(q^2, (p+q)^2) = F_{qq}^{\text{QCD}}(q^2, (p+q)^2) \cdot \\ F_{qqq}^{\text{QCD}}(q^2, (p+q)^2) = 2m_c f_K \left\{ \int_0^1 \frac{du}{u} \varphi_K(u) \cdot \right. \\ \left. \frac{1}{s - (p+q)^2} - 8m_c^2 \int_0^1 \frac{du}{u^3} g_1(u) \frac{1}{[s - (p+q)^2]^3} + \right. \\ 2 \int_0^1 \frac{du}{u^2} G_2(u) \frac{1}{[s - (p+q)^2]^2} + 4 \int_0^1 \frac{du}{u^3} G_2(u) \cdot \\ \left. \frac{q^2 + m_c^2}{[s - (p+q)^2]^3} + 2m_c f_K \int_0^1 dv \int D\alpha_i \cdot \right. \\ \left. \frac{2\varphi_{\perp}(\alpha_i) + 2\tilde{\varphi}_{\perp}(\alpha_i) - \varphi_{\parallel}(\alpha_i) - \tilde{\varphi}_{\parallel}(\alpha_i)}{[s - (p+q)^2]^2 (\alpha_1 + v\alpha_3)^2} \right\} \quad (14)$$

其中: $\varphi_K(u)$ 为 K 介子 twist-2 波函数; $g_1(u)$ 、 $g_2(u)$ 为两粒子态的 twist-4 波函数; $\varphi_{\perp}(\alpha_i)$ 、 $\tilde{\varphi}_{\perp}(\alpha_i)$ 、 $\varphi_{\parallel}(\alpha_i)$ 、 $\tilde{\varphi}_{\parallel}(\alpha_i)$ 为三粒子态的 twist-4 波函数。

在选用非手征流关联函数计算时,发现 twist-3 与 twist-2 波函数均为主要贡献的波函数。但 twist-3 波函数不好确定,因此,给计算结果带来较大的不确定性。但在所选择的手征流关联函数中不出现 twist-3 波函数,从而改善了光锥 QCD 求和规则的计算结果。

对 $F^H(q^2, (p+q)^2)$ 和 $F^{\text{QCD}}(q^2, (p+q)^2)$ 作为对变量 q^2 和 $(p+q)^2$ 的双重 Borel 变换,并应用双重色散关系式(13),可得到耦合常数 $g_{D^* DK}$,有:

$$f_D f_{D^*} g_{D^* DK} = \frac{2m_c(m_c + m_s)}{m_{D^*}^2 m_{D^*}} f_K e^{(m_D^2 + m_{D^*}^2)/2M_1^2} \cdot \\ \left(M_1^2 \left(e^{-(m_c^2 + m_K^2/4)/M_1^2} - e^{-\frac{s_0}{M_2^2}} \right) \varphi_K(1/2) + \right. \\ \left. e^{-(m_c^2 + m_K^2/4)/M_1^2} \left(g_2(1/2) - \frac{4m_c^2}{M_1^2} (g_1(1/2) - \right. \right. \\ \left. \left. \int_0^{1/2} g_2(v) dv + \int_0^{1/2} d\alpha_1 \int_{1/2-\alpha_1}^{1-\alpha_1} \frac{d\alpha_3}{\alpha_3} \right) \cdot \right. \\ \left. \left(2\varphi_{\perp}(\alpha_i) + 2\tilde{\varphi}_{\perp}(\alpha_i) - \varphi_{\parallel}(\alpha_i) - \tilde{\varphi}_{\parallel}(\alpha_i) \right) \right) \right) \quad (15)$$

在式(13)中,类似计算得到 D→K 跃迁形状

因子,为:

$$\begin{aligned}
 f_{\text{DK}}^+(q^2) = & \frac{m_c^2}{2m_D^2 f_D} f_K e^{m_D^2/M^2} \left(\sqrt{2} \int_{\Delta}^1 \frac{du}{u} \right. \\
 & \varphi_K(u) e^{-(m_c^2 - q^2)(1-u) + um_K^2/uM^2} + \\
 & 6\sqrt{2} \left(\frac{g_1(\Delta)}{m_c^2 - q^2} e^{-s_0/M^2} + \int_{\Delta}^1 \frac{g_1(u)}{u^2} du \right. \\
 & \left. \left. \frac{1}{M^2} \varphi_K(u) e^{-(m_c^2 - q^2)(1-u) + um_K^2/uM^2} \right) - \right. \\
 & 4\sqrt{2} \left(\left(\frac{g_1(\Delta)}{(m_c^2 - q^2)^2} - \frac{1}{(s_0 - q^2 - m_K^2)(m_c^2 - q^2)} \cdot \right. \right. \\
 & \left. \left. \frac{dg_1(\Delta)}{du} \right) e^{-s_0/M^2} \right) + \frac{1}{M^2} \cdot \frac{s_0 - q^2 - m_K^2}{(m_c^2 - q^2)^2} g_1(\Delta) \cdot \\
 & e^{-s_0/M^2} + \frac{1}{M^2} \int_{\Delta}^1 \frac{g_1(u)}{u^3} du e^{-(m_c^2 - q^2)(1-u) + um_K^2/uM^2} + \\
 & 4\sqrt{2} \frac{G_2(\Delta)}{m_c^2 - q^2} e^{-s_0/M^2} + \int_{\Delta}^1 \frac{G_2(u)}{u} du \frac{1}{M^2} \cdot \\
 & e^{-(m_c^2 - q^2)(1-u) + um_K^2/uM^2} - 2\sqrt{2} \left(\frac{m_c^2 + q^2}{(m_c^2 - q^2)^2} G_2(\Delta) - \right. \\
 & \left. \frac{m_c^2 + q^2}{(s_0 - q^2 - m_K^2)(m_c^2 - q^2)} \cdot \frac{dG_2(\Delta)}{du} e^{-s_0/M^2} + \right. \\
 & \left. \frac{1}{M^2} \cdot \frac{(m_c^2 + q^2)(s_0 - q^2 - m_K^2)}{(m_c^2 - q^2)^2} G_2(\Delta) e^{-s_0/M^2} + \right. \\
 & \left. \frac{1}{M^4} \int_{\Delta}^1 \frac{g_1(u)}{u^3} du (m_c^2 + q^2) e^{-(m_c^2 - q^2)(1-u) + um_K^2/uM^2} \right) + \\
 & \sqrt{2} \int_0^1 dv \int D\alpha_i \frac{\theta(\beta - \Delta)}{\beta^2 M^2} e^{-(m_c^2 - q^2)(1-\beta)/\beta M^2} \cdot \\
 & \left. \left(2\varphi_{\perp}(\alpha_i) + 2\bar{\varphi}_{\perp}(\alpha_i) - \varphi_{/\!/\!}(\alpha_i) - \bar{\varphi}_{/\!/\!}(\alpha_i) \right) \right) \quad (16)
 \end{aligned}$$

并得到形状因子新的项为:

$$\begin{aligned}
 \tilde{f}_{\text{DK}}(q^2) = & \frac{2\sqrt{2}m_c^2}{m_D^2 f_D} f_K e^{m_c^2/M^2} \left(\left(\frac{1}{(m_c^2 - q^2)^2} \cdot \right. \right. \\
 & G'_2(\Delta)(q^2 - m_c^2) + 2G_2(\Delta) \frac{s_0 - q^2 - m_K^2}{(m_c^2 - q^2)^2} \cdot \\
 & e^{-s_0/M^2} + \frac{1}{M^2} G_2(\Delta) \frac{(s_0 - q^2 - m_K^2)^2}{(m_c^2 - q^2)^2} e^{-s_0/M^2} - \\
 & \left. \left. \frac{1}{M^4} \int_{\Delta}^1 \frac{G_2(u)}{u^4} du (q^2 - m_c^2) e^{-(m_c^2 - q^2)(1-u) + um_K^2/uM^2} - \right. \right. \\
 & 2G_2(\Delta) \frac{s_0 - q^2 - m_K^2}{m_c^2 - q^2} e^{-s_0/M^2} - \\
 & \left. \left. \frac{1}{M^2} \int_{\Delta}^1 \frac{G_2(u)}{u^3} du e^{-(m_c^2 - q^2)(1-u) + um_K^2/uM^2} \right) \quad (17) \right.
 \end{aligned}$$

其中: $\varphi_K(u)$ 为 K 介子 twist-2 波函数; $\beta = \alpha_1 + v\alpha_3$; $\Delta = \frac{m_c^2 - q^2}{s_0 - q^2 - m_K^2}$; $D\alpha_i = d\alpha_1 d\alpha_2 d\alpha_3 \delta(1 - \alpha_1 - \alpha_2 - \alpha_3)$ 。

3 数值分析

在求和规则的结果中,有以下输入参数^[8]: c 夸克质量 $m_c = 1.4$ GeV, D、D* 夸克质量 $m_D = 1.87$ GeV 和 $m_{D^*} = 1.92$ GeV, 衰变常量 $f_D = 0.17$ GeV, 阔参数 $s_0 = 6.0$ GeV。对于 K 介子, $f_K = 0.16$ GeV。K 介子光锥波函数取渐近形式^[8],为:

$$\begin{aligned}
 \varphi_K(u) = & 6u(1-u)(1+0.16 \times \\
 & \frac{3}{2}(5(2u-1)^2 - 1) + 0.06 \times \frac{15}{8} \times \\
 & (21(2u-1)^4 - 0.07(2u-1)^2 + 1)) \quad (18)
 \end{aligned}$$

通过输入参数,下一步寻找 Borel 参数 M^2 和 M_1^2 的可置信范围。图 1 示出式(18)中 $f_{\text{D}^*} g_{\text{D}^* \text{ DK}}$ 关于 M_1^2 的平台。由图 1 可见,当 $M_1^2 \geq 6$ GeV² 时,平台非常平稳,取 $M_1^2 = 7$ GeV² 时,得 $f_{\text{D}^*} g_{\text{D}^* \text{ DK}} = 2.99$ GeV。从这些稳定的平台可看出计算结果是正确的。

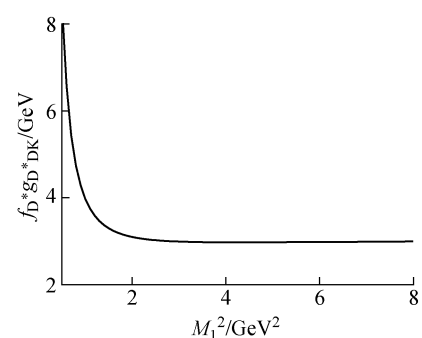


图 1 $f_{\text{D}^*} g_{\text{D}^* \text{ DK}}$ 与 Borel 参数 M_1^2 的关系

Fig. 1 Relation between $f_{\text{D}^*} g_{\text{D}^* \text{ DK}}$ and

Borel parameter M_1^2

图 2 示出了式(18)中分别取 $q^2 = 0, 0.2, 0.5$ GeV² 时, $f_{\text{DK}}^+(q^2)$ 与 M^2 的平台。从图 2 可看到,在 $M^2 \geq 4$ 时有稳定的平台。从这些稳定的平台可看出关于 $f_{\text{DK}}^+(q^2)$ 的计算结果是正确的,满足 QCD 求和规则的要求。取 $M^2 = 6.0$ GeV² 时,得到:

$$f_{\text{DK}}^+(0) = 0.65 \quad (19)$$

图 3 示出了在整个运动学范围内 D→K 跃迁形状因子 $f_{\text{DK}}^+(q^2)$,其中,实线对应式(19)中 $f_{\text{DK}}^+(q^2)$ 与 q^2 的关系曲线, q^2 的有效取值范围为 $0 \leq q^2 \leq 0.6$ GeV²,即由光锥 QCD 求和规则计算的结果。在 $0 \leq q^2 \leq (m_D - m_K)^2$ =

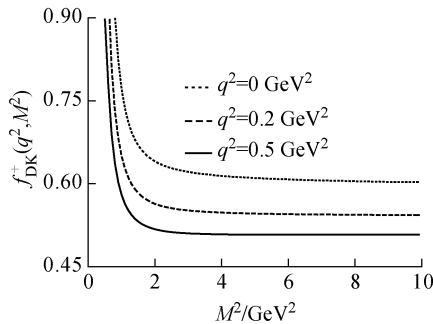


图 2 $f_{\text{DK}}^+(q^2, M^2)$ 与 Borel 参数 M^2 的关系
Fig. 2 Relation between $f_{\text{DK}}^+(q^2, M^2)$ and Borel parameter M^2

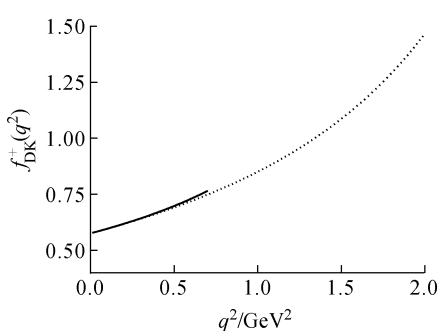


图 3 在整个运动学范围内 D \rightarrow K 跃迁形状因子 $f_{\text{DK}}^+(q^2)$
Fig. 3 Form factor $f_{\text{DK}}^+(q^2)$ of D \rightarrow K in whole kinematics range

1.89 GeV范围内由式(9)计算得到。图 3 中虚线对应式(9)中 $f_{\text{DK}}^+(q^2)$ 与 q^2 的关系曲线, 其中要求式(9)中在 $0 \leqslant q^2 \leqslant 0.6 \text{ GeV}^2$ 范围的曲线与式(19)中曲线相一致, 取 $m_{D^*} = 1.92 \text{ GeV}$ 后, 这两条曲线在 $0 \leqslant q^2 \leqslant 0.6 \text{ GeV}^2$ 范围内吻合很好。这样, 在整个运动学范围内, $0 \leqslant q^2 \leqslant (m_D - m_K)^2$ 的 D \rightarrow K 跃迁形状因子即由式(9)给出, 即图 3 中虚线所示。把式(19)、(20)代入式(3)得到 $f^0(q^2)$ 与 q^2 的关系表达式, 在 LRSR 方法中, q^2 的有效取值范围为 $0 \leqslant q^2 \leqslant 0.6 \text{ GeV}^2$ 。

$f^0(q^2)$ 在 $0.6 \leqslant q^2 \leqslant (m_D - m_K)^2 = 1.89 \text{ GeV}$ 范围内的关系可由 $\lim_{p^2 \rightarrow m_D^2} f^0(q^2) = f_{\text{DK}}^+(q^2)$ 得到, 其所对应的点与 $q^2 = 0.6$ 所对应的点的坐标连成的直线^[11], 即由 $(0.6, 0.58)$ 、 $(1.89, 1.06)$ 两点构成的直线来表示。如图 4 的直线段, 其直线关系分别为:

$$f^0(q^2) = 0.31q^2 - 0.48 \quad (20)$$

可得到在整个运动学范围内 D \rightarrow K 跃迁形状因子 $f_{\text{DK}}^0(q^2)$, 其中, $0 \leqslant q^2 \leqslant (m_D - m_K)^2$, 如图 4 所示。

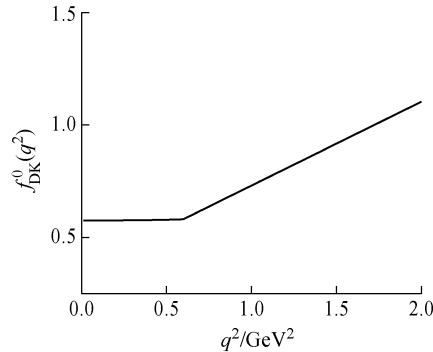


图 4 在整个运动学范围内 D \rightarrow K 跃迁形状因子 $f_{\text{DK}}^0(q^2)$
Fig. 4 Form factors $f_{\text{DK}}^0(q^2)$ of D \rightarrow K in whole kinematics range

把式(9)代入式(1)即可得到 D \rightarrow K 过程的衰变宽度, 再由 $\text{Br}(D \rightarrow Kl\bar{\nu}_l(l=e, \mu)) = \frac{\Gamma(D \rightarrow Kl\bar{\nu}_l(l=e, \mu))}{\Gamma}$ 计算 D \rightarrow Kl $\bar{\nu}_l(l=e, \mu)$ 的分支比。其中, Γ 为 D 0 总的衰变宽度, 它与 D 0 寿命的关系为:

$$\Gamma\tau = \hbar \quad (22)$$

D 0 的寿命 $\tau = 410.6 \times 10^{-15} \text{ s}$ ^[9]。 $|V_{cs}| = 1.03 \times 10^{-3}$ ^[10], 计算得 Kl $\bar{\nu}_l(l=e, \mu)$ 的分支比 $\text{Br}(D^0 \rightarrow K^- e^+ \bar{\nu}_e) = (3.73 \pm 0.02) \times 10^{-3}$, $\text{Br}(D^0 \rightarrow K\mu^+ \bar{\nu}_\mu) = (3.69 \pm 0.10) \times 10^{-3}$ 。

粒子物理手册中的实验数据^[11]为 $\text{Br}(D^0 \rightarrow K^- e^+ \bar{\nu}_e) = (3.73 \pm 0.02) \times 10^{-3}$ 、 $\text{Br}(D^0 \rightarrow K\mu^+ \bar{\nu}_\mu) = (3.69 \pm 0.10) \times 10^{-3}$ 。最近的实验数据^[12]给出 $\text{Br}(D^0 \rightarrow K^- e^+ \bar{\nu}_e) = (3.45 \pm 0.10 \pm 0.19) \times 10^{-3}$, $\text{Br}(D^0 \rightarrow K\mu^+ \bar{\nu}_\mu) = (3.45 \pm 0.10 \pm 0.21) \times 10^{-3}$ 。可见, 计算结果处在新的实验数据范围内。

4 结论

本文系统研究了 D \rightarrow Kl $\bar{\nu}_l(l=e, \mu)$ 衰变过程, 通过构造适当的关联函数分别计算耦合常数 $g_{D^* \text{ DK}}$ 和形状因子 $f_{\text{DK}}^+(q^2)$, 并增加新的项 $\tilde{f}_{\text{DK}}(q^2)$, 可分别计算 D \rightarrow Kl $\bar{\nu}_l(l=e, \mu)$ 的分支

比，并能看到这两个衰变道分支比的差别。计算结果与实验数据在误差范围内一致。由于在其它计算方法中，考虑轻子质量对分支比影响，因此，认为 $D \rightarrow K\bar{\nu}_e$ 、 $D \rightarrow K\mu\bar{\nu}_\mu$ 分支比相同。计算 $\tilde{f}_{DK}(q^2)$ 能考虑轻子质量对分支比的影响，从而更精确地与理论和实验数据进行比较，无论在理论还是在实验方面均具有一定的意义。对 D 的半轻衰变过程需进一步研究，进行数据积累，从而给出更精确的理论计算结果和实验结果，精确抽取 CKM 矩阵元。

参考文献：

- [1] SHIFMAN M A, VAINSHTEIN A I, ZAKHAROV V I. QCD and resonance physics theoretical foundation[J]. Nucl Phys B, 1979, 147: 385-448.
- [2] AUBIN C. Semileptonic decays of D mesons in three-flavor lattice QCD[J]. Phys Rev Lett, 2005, 94: 011601-011605.
- [3] KHODJAMIRIAN A, RUCKL R, WEINZIERL S, et al. Perturbative QCD correction to the $B \rightarrow \pi$ transition form factor[J]. Phys Lett B, 1997, 410: 275-284.
- [4] ALIEV T M, AZIZI K, OZPINICI A. Magnetic moments of heavy Ξ_Q baryons in light cone QCD sum rules[J]. Phys Rev D, 2008, 77: 114006-114013.
- [5] FAJFER S, KAMENIK J. Charm meson resonances in $D \rightarrow P\bar{\nu}$ decays[J]. Phys Rev D, 2005, 71: 014020-014025.
- [6] HUANG T, LI Z H. $B \rightarrow K^* \gamma$ in the light-cone QCD sum rule[J]. Phys Rev D, 1998, 57: 1 993-1996.
- [7] HUANG T, LI Z H, WU X Y. Improved approach to the heavy-to-light form factors in the light-cone QCD sum rules[J]. Phys Rev D, 2001, 63: 094001-094007.
- [8] KHODJAMIRIAN A, RUCKL R, WINHART C W. The scalar $B \rightarrow \pi$ and $D \rightarrow \pi$ form-factors in QCD[J]. Phys Rev D, 2000, 58: 054013-054019.
- [9] KHODJAMIRIAN A, RUCKL R, WEINZIERL S. Predictions on $B \rightarrow \pi \bar{l} \nu_l$ and $D \rightarrow K \bar{l} \nu_l$ from QCD light cone sum rules[J]. Phys Rev D, 2000, 62: 1140021-1140025.
- [10] HANNA M. Leptonic and semileptonic D -decays[J]. ECONF, 2006, 0610161: 014-019.
- [11] HAGIWARD K. Particle data group[J]. Phys Rev D, 2002, 66: 010007-010012.
- [12] LIU F. Measurements of absolute branching fractions for exclusive D^0 semileptonic decays[J]. ICHEP, 2004, 2: 1 188-1 191.